Вестник НЯЦ РК выпуск 1, март 2019

УДК 621.039.531

ИЗМЕНЕНИЕ ФАЗОВОГО СОСТАВА И ПРОЧНОСТНЫХ СВОЙСТВ АУСТЕНИТНОЙ СТАЛИ 12X18Н10Т В РЕЗУЛЬТАТЕ ДЕФОРМАЦИИ И ПОСТДЕФОРМАЦИОННЫХ ОТЖИГОВ

^{1,2)} Цай К.В.,^{1,3)} Рофман О.В.,^{1,2)} Отставнов М.А.

¹⁾ Институт ядерной физики, Алматы, Казахстан
²⁾ Казахский национальный университет им. аль-Фараби, Алматы, Казахстан
³⁾ НИТУ «МИСИС», Москва, Россия

Обсуждаются результаты экспериментов по изучению изменений фазового состава и механических свойств аустенитной нержавеющей стали 12X18H10T, необлученной и облученной нейтронами, подвергнутой низкотемпературной деформации и постдеформационному отжигу в интервале температур $300-800\,^{\circ}C$. Исследованы особенности образования и накопления мартенситной α' -фазы при деформации и отжиге. Рассмотрена зависимость величины микротвердости стали от содержания α' -фазы.

Введение

Под действием внешних нагрузок в метастабильных аустенитных сталях в процессе формирования деформационной микроструктуры образуется новая α'-фаза (мартенсит деформации) более прочная по сравнению с у-аустенитной матрицей, обладающая остаточным магнетизмом. Количество α'-фазы зависит от многих условий, наиболее значимые из которых - элементный состав стали, температура деформации, вид деформации (растяжение, сжатие), облучение высокоэнергетическими частицами [1-3]. Плотность мартенсита в легированных сталях $(\sim 7,6-7,7 \ z/c M^3)$ меньше, чем плотность аустенита $(7.9 \ \text{г/см}^3, 12X18H10T)$. В связи с увеличением объема стали при мартенситном превращении в ней возникают внутренние напряжения вблизи мартенситных включений. Мартенситная а '-фаза метастабильна, ее содержание можно легко контролировать термообработкой. Отжиг (~1/2-1 час) при повышенных $(800 \, ^{\circ}\text{C})$ температурах инициирует обратный $\alpha' \rightarrow \gamma$ фазовый переход в материале вплоть до полного исчезновения α' -фазы. При этом структура и механические свойства термически восстановленного аустенита отличается от первоначальных. Оба вышеуказанных процесса могут влиять на эксплуатационные характеристики стальных конструкций. Это обусловливает актуальность изучения закономерностей процессов образования и отжига мартенситной си-фазы в аустенитных сталях.

Цель настоящей работы: Изучить влияние пластической деформации при низких температурах на фазово-структурное состояние образцов стали 12X18H10T, необлученных и облученных нейтронами в реакторе ВВР-К, а также выявить коррелированные изменения прочностных и магнитных свойств деформированной стали в ходе термической обработки. Для этого в стальных образцах растяжением при низких температурах индуцировали значительное количество мартенсита деформации. Затем провели отжиг образцов в широком интервале темпера-

тур, что дало возможность детально изучить поведение стали при термическом воздействии.

Материал и методы исследований

Материалом исследования в работе являлась хромоникелевая аустенитная нержавеющая сталь 12X18H10T с химическим составом: Fe – основа; Ni -10.66; Cr -17.00; C -0.12; Mn -1.67; P -0.032; S < 0.013; Si - 0.34. Для экспериментов изготавливали плоские образцы в форме двойной лопатки с размерами рабочей части 3 мм × 10 мм и толщиной 300 мкм. Для устранения возможных ферритных и карбидных включений проводилась предварительная аустенизация образцов при 1050 °C (30 мин) с закалкой в воду. Часть термообработанных образцов облучали нейтронами в активной зоне исследовательского реактора ВВР-К при температуре ~80 °C до флюенса 1,3×10²⁰ н/см². Перед механическими испытаниями на поверхность каждого образца специальным маркером было нанесено 9-11 полосок-меток для экстензометрических измерений.

Необлученные и облученные стальные образцы деформировали пошаговым одноосным растяжением на установке Инстрон-1195 со скоростью 0,5 мм/мин при $T_{\text{исп}} = 20 \, ^{\circ}\text{C}$ и $-100 \, ^{\circ}\text{C}$ [4]. В ходе деформирования периодически образец разгружали для измерений его линейных размеров - ширины и толщины, чтобы определить площадь поперечного сечения. Это позволило получить, помимо инженерных диаграмм растяжения « $\sigma - \epsilon$ », диаграммы « $\sigma_i - \epsilon_i$ » в «истинных» координатах. Содержание ферромагнитной α' -фазы M_f (в фер. %) и ее распределение по образцу определяли с помощью феррозонда Ферстера МР-30 в разных точках образца, в том числе на участке вблизи развивающейся «шейки», где $M_{\rm f}$ достигало максимальных значений. Микротвердость Ни и ее распределение по образцу измеряли после деформации с помощью микротвердомера ПМТ-3 при нагрузке на индентор 50 г.

Изохронные отжиги деформированных образцов осуществляли в трубчатой печи, в вакууме 10^{-3} торр,

в интервале температур 300–500 °C с шагом 25 °C, а также в интервале 500–800 °C с шагом 50 и 100 °C. Длительность каждого отжига составляла 30 минут. Измерение M_f и H_μ по длине образцов проводилось после каждого отжига. С помощью просвечивающей электронной микроскопии (микроскоп JEM-2100, $U=200~{\rm kB}$) характеризовали изменения в микроструктуре в результате деформации и постдеформационного отжига. С этой целью из образцов выбивали диски диаметром 3 мм, которые подвергали шлифовке, полировке и струйной электрополировке при комнатной температуре в электролите следующего состава: 20 % $HClO_4+80~{\rm K_2H_5OH}$.

Полученные результаты и их обсуждение Результаты механических испытаний и магнитометрических измерений

На рисунках 1 и 2 представлены полученные диаграммы растяжения и кривые накопления мартенситной фазы $M_f(\epsilon)$ для образцов стали 12X18H10T, необлученных и облученных нейтронами до $1,3\times10^{20}$ н/см². Из диаграмм определены характеристики прочности, пластичности, критические параметры начала образования α' -фазы, а также максимальное количество мартенсита в стальных образцах на момент их разрушения (см. таблицу).

В случае растяжения при 20 °С (рисунок 1-а) облучение нейтронами вызывает упрочнение материала (рост $\sigma_{0.2}$), уменьшение пластичности и запускает локализационные процессы в объеме материала при более низких ϵ по сравнению с необлученной сталью. С понижением температуры испытаний до -100 °С (рисунок 1-б) в значительной степени возрастают прочностные характеристики деформируемой стали, практически без потери пластичности. Наиболее сильно нейтронное облучение влияет на предел текучести, который повышается почти в 3 раза по сравнению с $\sigma_{0.2}$ исходного материала.

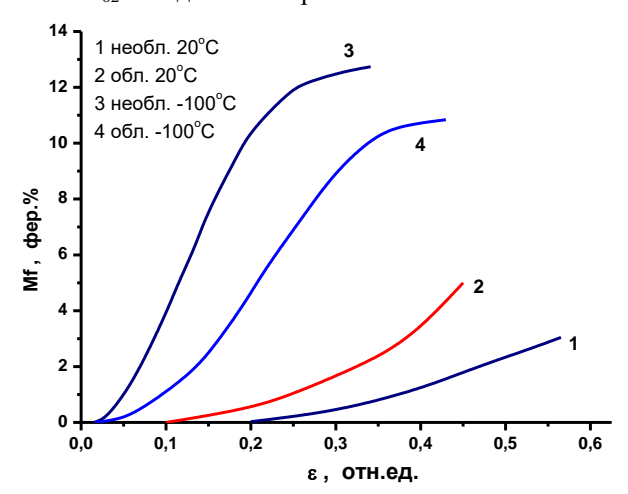
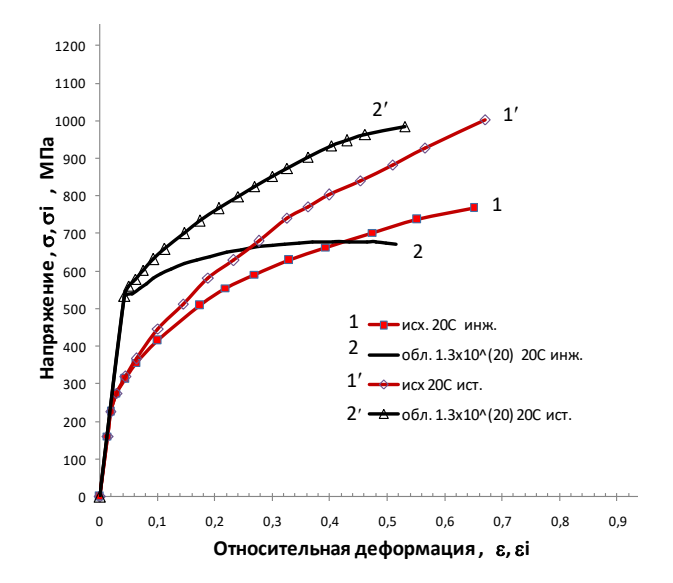
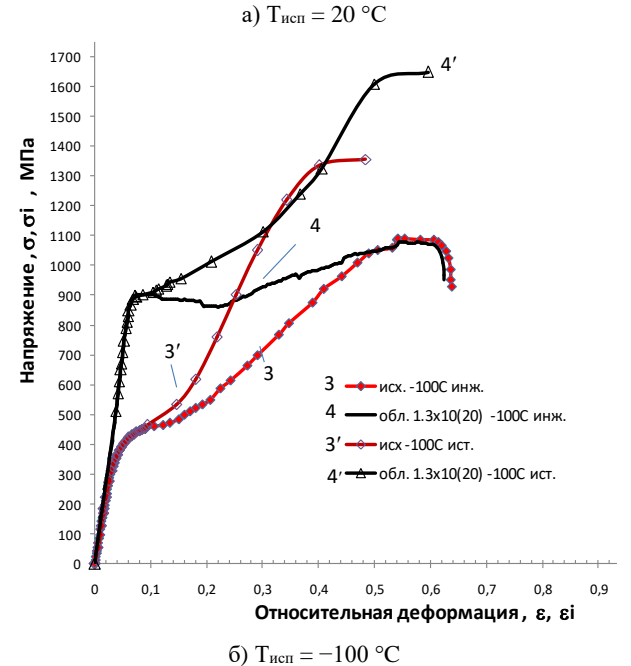


Рисунок 2. Кривые накопления α'-фазы в образцах стали 12X18H10T при растяжении





Инженерные и «истинные» диаграммы растяжения для необлученной стали при $T_{\text{исп}} = 20$ °C (кривые 1, 1′) и -100 °C (кривые 3, 3′) и для стали, облученной нейтронами до $1.3 \times 10^{20}\,\text{н/cm}^2$ при $T_{\text{исп}} = 20$ °C (2, 2′) и -100 °C (4, 4′).

Рисунок 1. Диаграммы растяжения образцов стали 12X18H10T

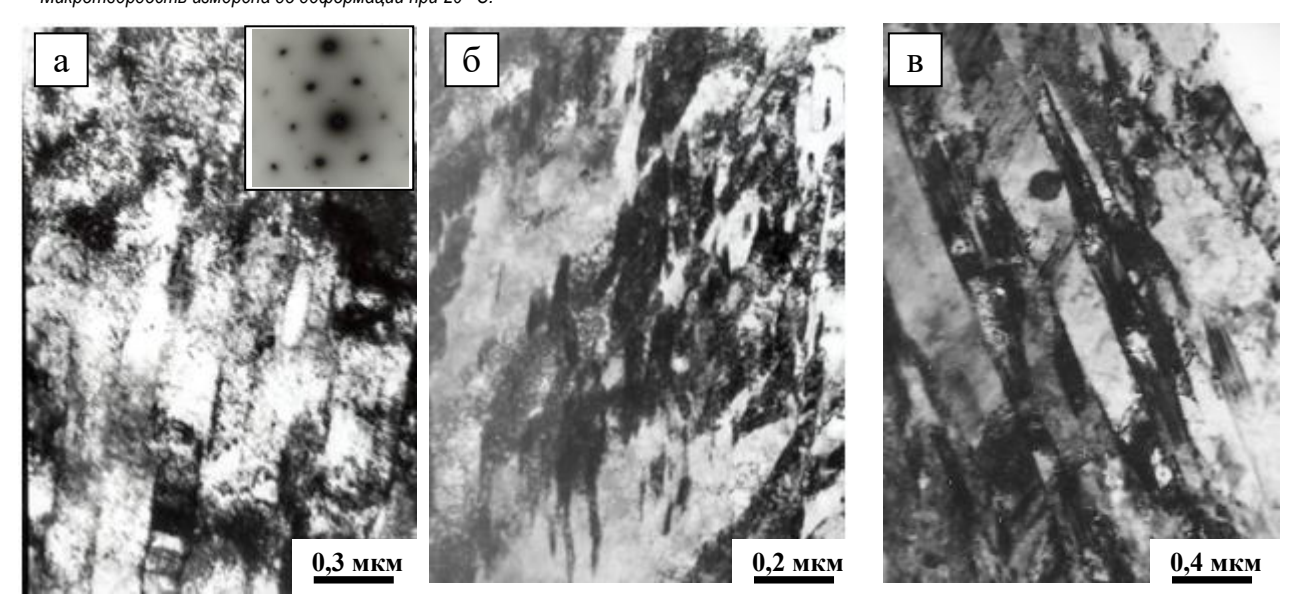
Понижение температуры испытаний до -100 °C приводит к уменьшению $\varepsilon^{\text{кр}}$ – критической деформации начала образования α' -фазы, на порядок. При этом критические напряжения лишь ненамного превышают σ_{02} для всех рассмотренных образцов, т.е. условия для образования мартенсита в стали достигаются практически без дополнительного деформационного упрочнения.

ИЗМЕНЕНИЕ ФАЗОВОГО СОСТАВА И ПРОЧНОСТНЫХ СВОЙСТВ АУСТЕНИТНОЙ СТАЛИ 12X18H10T В РЕЗУЛЬТАТЕ ДЕФОРМАЦИИ И ПОСТДЕФОРМАЦИОННЫХ ОТЖИГОВ

| Характеристики | Необл. | 1,3×10 ²⁰ н/см ² | Необл. | 1,3×10 ²⁰ н/см ² |
|--|--------|--|--------|--|
| T _{ucn} , ∘C | 20 | 20 | -100 | -100 |
| Полная деформация δ, отн.ед. | 0,6 | 0,46 | 0,54 | 0,55 |
| Равномерная деформация, ε _ρ , отн.ед. | 0,6 | 0,4 | 0,48 | 0,5 |
| Предел текучести σ _{0.2} , МПа | 240 | 530 | 300 | 870 |
| Условный предел прочности σ _в , МПа | 770 | 680 | 1090 | 1080 |
| Напряжение разрушения, σ _R , МПа | 770 | 673 | 950 | 990 |
| Истинный предел прочности σ _{ві} , МПа | 1005 | 960 | 1340 | 1610 |
| Истинное напряжение разрушения, σ_{Ri} МПа | 1005 | 985 | * | 1650 |
| Критическая деформация образования $lpha'$ -фазы $arepsilon^{	ext{KP}} arepsilon_{	ext{Mf}}$ | 0,17 | 0,08 | 0,02 | 0,01 |
| Условное критическое напряжение $\sigma^{\kappa\rho}$, МПа | 560 | 610 | 440 | 890 |
| Истинное критическое напряжение $\sigma_{i}^{\kappa\rho}$, МПа | 615 | 692 | 450 | 900 |
| Максимальное количество α'-фазы, фер. % | 3,1 | 4,9 | 13,4 | 10,8 |
| Η _μ до деформации, кг/мм² | 160** | 230** | | |
| Макс.микротвердость после деформации, кг/мм ² | 308 | - | 360 | 369 |

Таблица. Механические и магнитные характеристики образцов стали 12Х18Н10Т, деформированных при низких температурах

<Н_µ> по образцу после деформации, кг/мм²



а – необлученная сталь, $\varepsilon = 0.3$, двойникованный α' -мартенсит; б, в – сталь, облученная до $1.3 \times 10^{20} \text{н/cm}^2$, $\varepsilon = 0.35$, темные кристаллиты – α' -мартенсит.

Рисунок 3. Мартенсит деформации в образцах стали 12X18H10T при $T_{ucn} = -100$ °C

В исходной стали при -100 °C критическое напряжение начала мартенситного превращения понижается по сравнению с испытаниями при 20 °C, тогда как в облученных образцах, напротив, возрастает. В результате интенсивность выделения мартенсита в облученной стали существенно ниже по сравнению с необлученной. Данный вывод хорошо согласуется с результатами работ [5, 6].

Как следует из рисунка 2, при понижении Тисп интенсивность мартенситных $\gamma \rightarrow \alpha'$ превращений возрастает. Нейтронное облучение также существенно влияет на вид кривых $M_f(\epsilon)$. Если при 20 °C в облученной стали мартенсит деформации выделяется интенсивнее, чем в необлученной, то при -100 °C ситуация изменяется и наибольшее количество α'-фазы образуется в необлученной образце, по сравнению с облученным. Последнее свидетельствует о затруднении процесса фазового превращения в облученной стали при отрицательной температуре испытаний.

348

Морфология мартенсита в стали 12Х18Н10Т после деформации при -100 °C представлена на рисунке 3. В необлученной стали α'-фаза имеет вид протяженных пластин двойников толщиной до 0,2 мкм (рисунок 3-а). В облученной стали, мартенсит выделяется в аустенитном зерне в виде мелких линзовидных образований толщиной ~20-40 нм высокой плотности (рисунок 3-б), которые «собираются» в протяженные ламели (рисунок 3-в). Росту мартен-

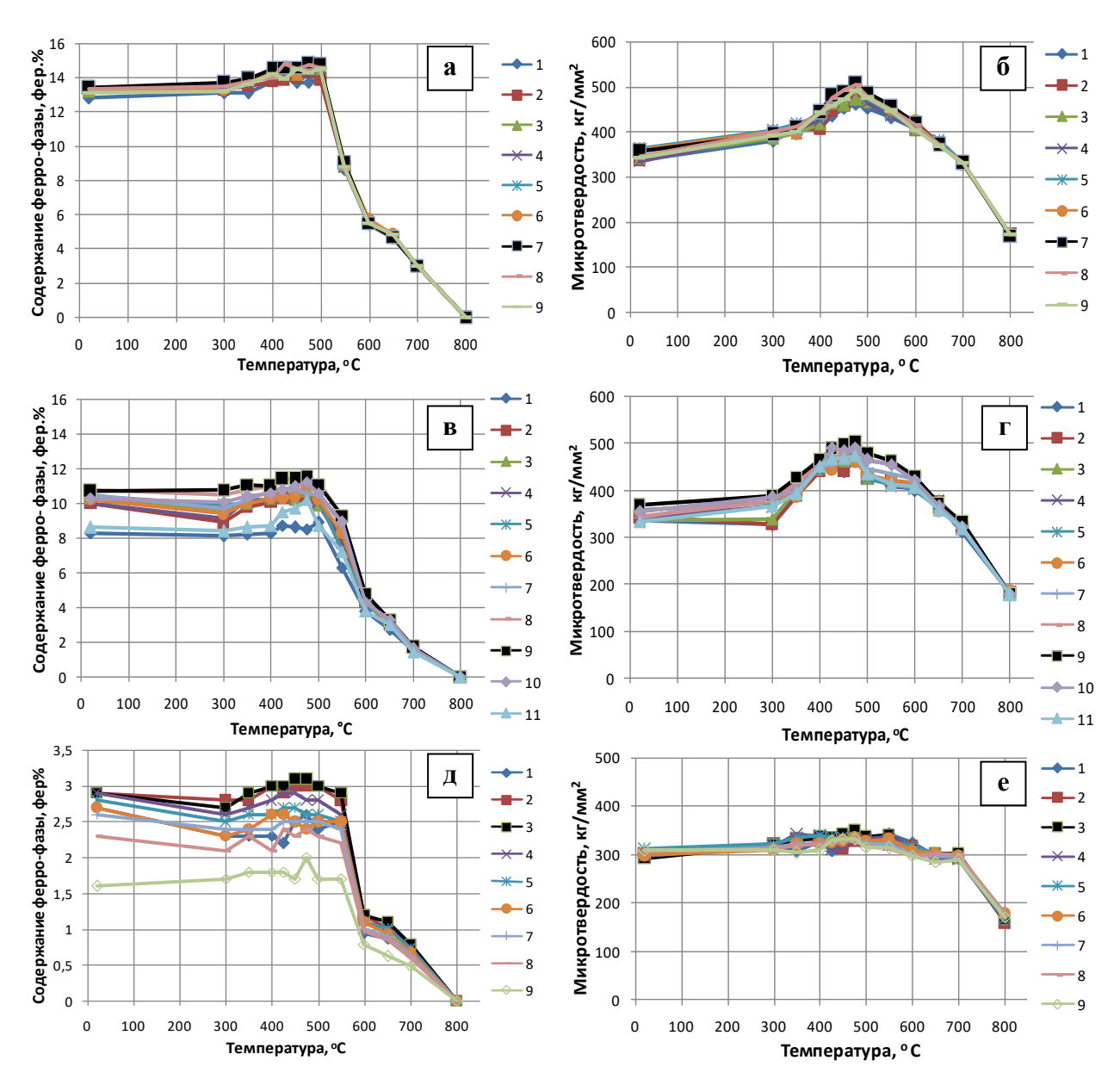
³⁰³ * — Отсутствие данных по σR означает, что разрушения образца нет на участке, для которого была построена диаграмма растяжения в истинных координатах.

^{** –} Микротвердость измерена до деформации при 20 °C.

ситной фракции, по-видимому, препятствует повышенный уровень внутренних напряжений в аустените, обусловленный как первичным радиационным упрочнением, так и деформационной микроструктурой, формируемой в облученной стали при растяжении. Несмотря на то, что в облученной стали мартенсита образуется в 1,5 раза меньше, чем в исходной, их прочностные характеристики ($\sigma_{\rm B}$, H_{μ}) сравнимы.

Результаты отжигов деформированных стальных образцов

Диаграммы изменения содержания α' -фазы M_f и микротвердости H_μ в деформированных образцах в зависимости от температуры отжига $(T_{\text{отж}})$ приведены на рисунке 4. Кривые $M_{f\,i}$ $(T_{\text{отж}})$ и $H_{\mu\,i}$ $(T_{\text{отж}})$ (где i=1...9/11) показывают эволюцию содержания мартенсита и упрочнение (разупрочнение) стали в разных точках на образцах с температурой отжига.



а, б – исходная сталь, $T_{\text{исп}} = -100$ °C; в, г – сталь, облученная до 1.3×10^{20} н/см², $T_{\text{исп}} = -100$ °C; д, е – исходная сталь, $T_{\text{исп}} = 20$ °C; а, в, д – содержание α' -фазы в деформированных образцах после отжигов; б, г, е – микротвердость этих образцов.

Рисунок 4. Изменение фазового состава и микротвердости деформированной стали 12X18H10T с ростом температуры изохронных отжигов

Отжиг «снимает» часть внутренних напряжений в микроструктуре, тормозящих $\gamma \rightarrow \alpha'$ превращение, вследствие чего возможен дальнейший рост мартенситных кристаллов. На всех отметках по длине образцов после отжигов при 350-500 °C имел место прирост количества α'-фазы (~5-10 %), по сравнению с исходным до отжига. Максимальные значения $M_{\rm f}$ отмечены после отжигов при 450-475 °C. Эффект постдеформационного отжигового упрочнения (прирост Н_и) фиксировался после отжигов в интервале температур 300-600 °C. Максимальный прирост Н_и (460–505 кг/мм²) для образцов, деформированных при -100 °C, наблюдался при 475 °C. При этом микротвердость возрастала в ~1,4 раза по сравнению с деформированными образцами до отжига. Несмотря на количественные различия в содержании α'-фазы в облученном и необлученном образцах на 30-40 %, их микротвердости близки по величине и имеют похожие зависимости $H_{\mu}(T_{\text{отж}})$.

Микроструктура мартенситного включения в стали после отжига при 450 °C приведена на рисунке 5. Видна тонкая структура аустенита, в котором продолжается формирование мартенситных включений. На электронограмме присутствуют рефлексы и тяжи, принадлежащие ГПУ ϵ -фазы, на снимке микроструктуры видны тонкие полосы дефектов упаковки, на пересечении которых формируются новые мелкие выделения α' -фазы. Заметим, что в массивном мартенсите, сформированном в стали после деформации, такой фазы не наблюдалось.

Отжиговое упрочнение в деформированных образцах исчезает после термообработки при 700 °C, но при этом микротвердость материала все еще намного превышает H_{μ} стали до деформации (см. таблицу). При 650 °C доля α' -фазы в образцах уменьшается более чем в 9 раз, поэтому можно говорить о переходе большей части мартенсита в аустенит в ходе обратного $\alpha' \rightarrow \gamma$ превращения, как и в работах [6–8]. Остаточное упрочнение стали 12X18H10T может быть связано с внутренней структурой новых мелких аустенитных зерен.

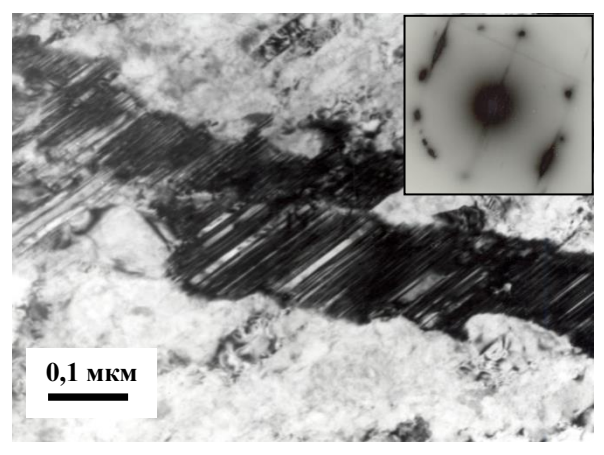


Рисунок 5. Мартенсит деформации в стали 12X18H10T, после растяжения при −100 °C и отжига при 450 °C (30 мин)

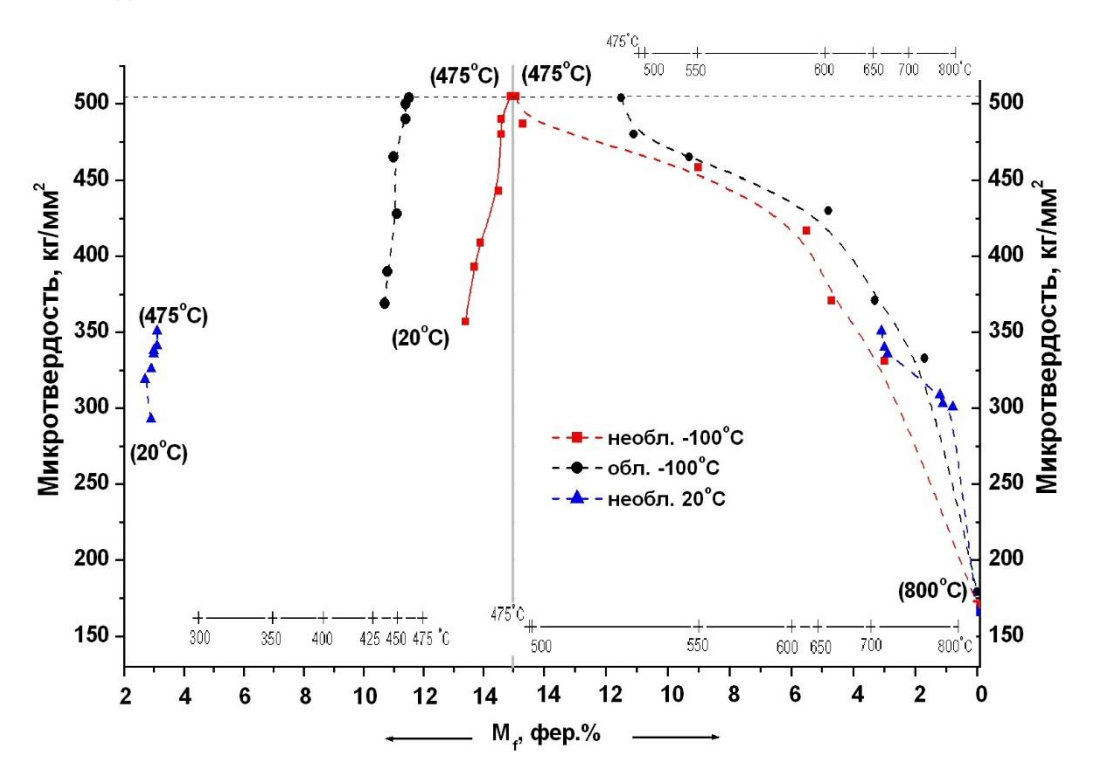


Рисунок 6. Микротвердость стали 12X18H10T в зависимости от содержания мартенситной α'-фазы в деформированных образцах после термического воздействия

ИЗМЕНЕНИЕ ФАЗОВОГО СОСТАВА И ПРОЧНОСТНЫХ СВОЙСТВ АУСТЕНИТНОЙ СТАЛИ 12X18H10T В РЕЗУЛЬТАТЕ ДЕФОРМАЦИИ И ПОСТДЕФОРМАЦИОННЫХ ОТЖИГОВ

На рисунке 6 приведены зависимости H_{μ} от количества упрочняющей а фазы в стальных образцах, необлученном и облученном нейтронами, на отметках с максимальными значениями M_f и H_μ . Левая часть диаграммы построена на интервале $M_f = 2-$ 15 фер. %. Здесь значения H_f увеличиваются с ростом содержания фазы M_f, т.е. имеет место отжиговое упрочнение. При этом участки образца, расположенные вблизи «шейки», демонстрируют близкую к линейной зависимость H_{μ} от $M_{\rm f}$. Для образцов с $T_{\text{исп}} = -100~^{\circ}\text{C}$ тангенс угла наклона $H_{\mu}(M_{\mathrm{f}})$ больше в случае облученной стали, по сравнению с необлученной. Таким образом, в силу особенностей микроструктуры, облученная деформированная сталь упрочняется интенсивнее при меньшем приросте фазы по сравнению с исходной сталью. То же самое наблюдается и для исходной стали, деформированной при 20 °C. Кроме того, наличие на графиках эффекта приращения H_{μ} без изменения M_f свидетельствует о том, что упрочнение стали при отжиге может быть обусловлено также и другими структурными механизмами – двойникованием, формированием дислокационных стенок и ячеек, фрагментацией и разориентацией субструктурных элементов. В микроструктурах, где образование α'-фазы затруднено, такие механизмы упрочнения могут вносить равнозначный вклад с мартенситным упрочнением.

В правой части диаграммы (рисунок 6) по оси абсцисс отложены значения M_f в порядке убывания, от 15 фер. % до 0. Значения H_{μ} уменьшаются одновременно с убыванием M_f в ходе обратного $\alpha' \rightarrow \gamma$ мартенситного превращения. Здесь стоит отметить разную интенсивность разупрочнения стали на интервале отжигов 500-550 °C для облученного и необлученного образцов ($T_{\rm исп} = -100 \, ^{\circ}{\rm C}$). Интенсивность снятия упрочнения, $H = \Delta H_{\mu}/(\Delta M_f \Delta T)$, для необлученной стали составляет 5,1 кг/мм²/(фер. % °С), тогда как для облученной — выше, $И = 8.3 \text{ кг/мм}^2/(\text{фер. } \% \text{ °C}).$ Анализ показал, что максимум отжигового разупрочнения стали лежит в интервале температур 600-650 °C. При температурах 650-800 °C разупрочнение стали происходит не только из-за сокращения количества остаточной а '-фазы в объеме образцов, но, главным образом, за счет рекристаллизационных процессов и формирования новой, более совершенной зеренной структуры.

ЗАКЛЮЧЕНИЕ

В результате проведения экспериментов по одноосному растяжению образцов необлученной и облученной нейтронами нержавеющей стали 12X18H10T при низких температурах и последующим изохронным отжигам деформированных образцов установлено следующее:

- Понижение температуры деформации до $-100~^{\circ}$ С приводит к росту прочностных характеристик стали практически без потери пластичности. При этом наиболее значимый вклад в деформационное упрочнение вносит образование и рост α' -мартенситной фазы.
- Критические напряжения начала $\gamma \to \alpha'$ превращения при -100 °C ненамного превышают предел текучести стали. При этом интенсивность выделения мартенсита в облученной стали существенно ниже, чем в необлученной. При 20 °C, напротив, облученная сталь более склонна к $\gamma \to \alpha'$ переходу под внешней нагрузкой.
- В образцах с высоким содержанием α' -фазы, после деформации при $-100~^{\circ}$ С и отжига, наблюдалось значительное отжиговое упрочнение при относительно слабом приросте содержания α' фазы. Температурный интервал эффекта отжигового упрочнения для стали 12X18H10T составляет $300-600~^{\circ}$ С, а его интенсивность практически не зависит от предварительного облучения. Прирост α' -фазы наблюдался при температурах отжига $300-500~^{\circ}$ С. Максимум отжигового упрочнения соответствовал максимальному содержанию α' -фазы в образцах после отжига при $475~^{\circ}$ С.
- Повышенные температуры отжига (650–800 °C) инициировали процессы обратного α' → γ превращения, сопровождающиеся резким уменьшением содержания α'-фазы и прочностных свойств стали. Максимальная скорость отжигового разупрочнения стали, независимо от предыстории, отвечает интервалу температур 600–650 °C. Интенсивность разупрочнения выше в облученной стали, по сравнению с необлученной.

Полученные результаты углубляют понимание природы физических процессов в облученных нейтронами аустенитных сталях в условиях низкотемпературной деформации и последующего термического воздействия. Авторы выражают признательность сотрудникам лаборатории радиационного материаловедения РГП ИЯФ Рубану С.В. и Щербининой Н.В. за помощь в проведении радиационных экспериментов. Работа выполнена при финансовой поддержке гранта №АР05130527 Программы грантового финансирования МОН РК.

ЛИТЕРАТУРА

- 1. Максимкин, О.П. Прямые и обратные мартенситные превращения в реакторных сталях, облученных нейтронами и заряженными частицами / О.П. Максимкин // Вестник НЯЦ. 2015. вып. 3. С. 113–123.
- Максимкин, О.П. Влияние реакторного облучения на закономерности мартенситного γ→α′ превращения в стали 12X18H10T при деформации / О.П. Максимкин, Д.Т. Бердалиев // Вестник НЯЦ. – 2009. – вып. 3. – С.167–172.
- 3. Цай, К.В. Влияние облучения и деформации на фазовые превращения в реакторных хромоникелевых сталях / К.В. Цай, О.В. Рофман, С.В. Рубан, О.П. Максимкин, Ф.А. Гарнер // Вестник НЯЦ. 2016. вып. 1. С. 66–72.

ИЗМЕНЕНИЕ ФАЗОВОГО СОСТАВА И ПРОЧНОСТНЫХ СВОЙСТВ АУСТЕНИТНОЙ СТАЛИ 12X18H10T В РЕЗУЛЬТАТЕ ДЕФОРМАЦИИ И ПОСТДЕФОРМАЦИОННЫХ ОТЖИГОВ

- 4. Рыбин, С.В. Создание испытательных низко— и высокотемпературной камер и их применение для изучения деформационно-пластического поведения облученных материалов / С.В. Рыбин, О.П. Максимкин, М.Н. Гусев // Вестник НЯШ РК. вып. 2. 2010. С. 75–80.
- 5. Максимкин, О.П. Влияние нейтронного облучения и отрицательных температур растяжения на механические и магнитные характеристики аустенитной реакторной стали X18H9, аустенизированной при температурах 900 °C и 1050 °C / О.П. Максимкин, С.В. Рубан // Вестник НЯЦ РК. − 2017. − вып. 1. − С. 5−8.
- 6. Максимкин, О.П. Изменения электросопротивления и намагниченности необлученной и облученной нейтронами стали X18H9 в процессах деформации и отжигов / О.П. Максимкин, Е.Е. Нұрғали // Вестник НЯЦ. 2018. вып. 1. С. 61–68.
- Рахашев, Б.К. Исследование обратного мартенситного α'→γ превращения в облученных высокоэнергетическими частицами, деформированных нержавеющих сталях 12X18H10T и 08X16H11M3 / Б.К. Рахашев // Диссертация на соискание ученой степени кандидата физ.-мат. наук. – г. Алматы. – 2010.
- Максимкин, О.П. Некоторые особенности обратного мартенситного α'→γ превращения в стали 12Х18Н10Т, облученной до высоких повреждающих доз в быстром реакторе БН-350/ О.П. Максимкин, М.С. Мережко, С.В. Рубан // Вестник НЯЦ РК. 2011. вып. 2. С. 109–114.

ДЕФОРМАЦИЯ ЖӘНЕ ДЕФОРМАЦИЯДАН КЕЙІНГІ КҮЙДІРУЛЕР НӘТИЖЕСІНДЕ 12X18Н10Т АУСТЕНИТТІК БОЛАТТЫҢ ФАЗАЛЫҚ ҚҰРАМЫ МЕН БЕРІКТІК ҚАСИЕТТЕРІНІҢ ӨЗГЕРІСТЕРІ

1,2) К.В. Цай, 1,3) О.В. Рофман, 1,2) М.А. Отставнов

1) Ядролық физика институты, Алматы, Қазақстан
 2) Әл-Фараби атындағы Қазақ ұлттық университеті, Алматы, Қазақстан
 3) «МБжКИ» ҰЗТУ, Мәскеу, Ресей

Сәулелендірілмеген және нейтрондармен сәулелендірілген, 300–800 °C температуралар ауқымында төмен температуралы деформация және деформациядан кейінгі күйдіруге ұшыраған 12X18H10T аустениттік тоттанбайтын болаттың фазалық құрамы мен механикалық қасиеттерінің өзгеруі бойынша эксперименттік нәтижелер талқылануда. Деформация және күйдіру арқылы мартенситті α' -фазаның пайда болуы мен өсу ерекшеліктері зерттелді. Болаттың микроқаттылық шамасының α' -фазаның мөлшерінен тәуелділігі қарастырылды.

CHANGES IN PHASE COMPOSITION AND STRENGTH PROPERTIES OF 12Cr18Ni10Ti AUSTENITIC STEEL AS A RESULT OF DEFORMATION AND POST-DEFORMATION ANNEALING

1,2) K.V. Tsai, 1,3) O.V. Rofman, 1,2) M.A. Otstavnov

1) Institute of Nuclear Physics, Almaty, Kazakhstan
2) Al-Farabi Kazakh National University, Almaty, Kazakhstan
3) "MISIS" NUST, Moscow, Russia

The results of experiments studying the peculiarities of changes in both phase composition and mechanical properties of austenitic 12X18H10T stainless steel, unirradiated and irradiated with neutrons, subjected to low-temperature deformation and post-deformation annealings in the temperature range 300–800 °C are discussed. The features of the formation and growth of the martensitic-phase during deformation and annealing are investigated. The dependence of the α' -phase content on microhardness of austenitic steel is considered.